

Глава 1

Введение

Как было установлено, радиоизлучение джетов связано с релятивистскими нетепловыми частицам [1]. В данной работе исследуется спектр синхротронного излучения релятивистских протонов, ускоренных в джетах, истекающих из активных галактических ядер. Рассматривается стационарный, осесимметричный джет. Движение вещества джета (плазмы) согласованно с электромагнитными полями в нем. Для ускоренных релятивистских протонов использовался энергетический спектр, соответствующий механизму ускорения протонов, предложенный в работах [8], [5], [6].

Глава 2

Синхротронное излучение

В общем случае для синхротронного излучения протонов в системе отсчёта, в котором они в целом покоятся, параметры Стокса имеют следующий вид [4]:

$$I_\nu = I(\nu, \mathbf{k}) = \frac{\sqrt{3}e^3}{mc^2} \int d\mathcal{E} dR N(\mathcal{E}, \mathbf{R}, \mathbf{k}) H_\perp \left(\frac{\nu}{\nu_c} \right) \int_{\nu/\nu_c}^{\infty} K_{5/3}(\eta) d\eta \quad (2.1)$$

$$Q(\nu, \mathbf{k}) = \frac{\sqrt{3}e^3}{mc^2} \int d\mathcal{E} dR N(\mathcal{E}, \mathbf{R}, \mathbf{k}) \cos 2\tilde{\chi} H_\perp \left(\frac{\nu}{\nu_c} \right) K_{2/3}(\nu/\nu_c) \quad (2.2)$$

$$U(\nu, \mathbf{k}) = \frac{\sqrt{3}e^3}{mc^2} \int d\mathcal{E} dR N(\mathcal{E}, \mathbf{R}, \mathbf{k}) \sin 2\tilde{\chi} H_\perp \left(\frac{\nu}{\nu_c} \right) K_{2/3}(\nu/\nu_c) \quad (2.3)$$

Здесь $\nu_c = \frac{3eH \sin \chi}{4\pi mc} \left(\frac{\mathcal{E}}{mc^2} \right)^2$ - характерная частота синхротронного излучения, H_\perp -компонента магнитного поля, перпендикулярная лучу зрения \mathbf{k} , $\tilde{\chi}$ - позиционный угол, определяющий положение вектора электрического поля \mathbf{E} на картинной плоскости (см. Рис. 4.1). $N(\mathcal{E}, \mathbf{R}, \mathbf{k})$ - плотность распределения частиц по энергиям \mathcal{E} и в пространстве

\mathbf{R} , $d\mathbf{R} = R^2 dR d\Omega$, e и m - заряд и масса протона, $K_\nu(x)$ - функция Макдональда ν -ого порядка.

Степень круговой поляризации равна, как показано в работе [9], в случае одностепенного спектра $\Pi_c = \frac{V}{I} \sim \cot \theta \left(\frac{3B_z e}{2\pi m c \nu} \right)^{1/2} \simeq 10^{-3} \left(\frac{\nu}{1\text{ГГц}} \right)^{-1/2}$. Для частот, на которых ведутся наблюдения, данной величиной почти всегда можно пренебречь.

Так как угловые размеры источника малы, то измеряемой величиной служат параметры Стокса, усредненные по всему объему источника $dV = R^2 dR d\Omega$

$$\begin{aligned}\bar{I}(\nu) &= \int \bar{I}(\nu, \mathbf{k}) d\Omega, \\ \bar{U}(\nu) &= \int \bar{U}(\nu, \mathbf{k}) d\Omega, \\ \bar{Q}(\nu) &= \int \bar{Q}(\nu, \mathbf{k}) d\Omega.\end{aligned}\tag{2.4}$$

Будем рассматривать распределение частиц, однородное в пространстве и изотропное по скоростям, $N(\mathcal{E}, \mathbf{R}, \mathbf{k}) = N(\mathcal{E})$. Причём в нашем случае функцию распределения удобно записать в следующем виде

$$N(\mathcal{E}) = \begin{cases} K \mathcal{E}^{-\gamma_1} \mathcal{E}_0^{\gamma_1-1} & \mathcal{E} < \mathcal{E}_0 \\ K \mathcal{E}^{-\gamma_2} \mathcal{E}_0^{\gamma_2-1} & \mathcal{E} > \mathcal{E}_0 \end{cases}.\tag{2.5}$$

Следует отметить, что данная зависимость отвечает спектру с изломом при энергии \mathcal{E}_0 , который соответствует спектру протонов в релятивистском джете, аналогичном распределению протонов в Галактических космических лучах, $\mathcal{E}_0 \simeq 10^6 m c^2$ (см. работу [6]). Также в этой работе найдены значения показателей $\gamma_1 = 2$ и $\gamma_2 = 2.4$. При равных индексах γ_1 и γ_2 излом отсутствует.

При интегрировании по энергии интеграл разобьётся на две части, и конечный ответ будет их суммой: $\bar{I}(\nu) = \sum_{i=1,2} \bar{I}_i(\nu)$,

$$\bar{I}_i(\nu) = \frac{K\sqrt{3}e^3}{mc^2} \int dRd\Omega H \sin \chi \int_{\mathcal{E}_i^0}^{\mathcal{E}_i^1} d\mathcal{E} \mathcal{E}^{-\gamma_i} \mathcal{E}_0^{\gamma_i-1} \left(\frac{\nu}{\nu_c} \right) \int_{\nu/\nu_c}^{\infty} K_{5/3}(\eta) d\eta, \quad (2.6)$$

где $\mathcal{E}_1^0 = 0$, $\mathcal{E}_2^0 = \mathcal{E}_0$, $\mathcal{E}_1^1 = \mathcal{E}_0$, $\mathcal{E}_2^1 = \infty$.

Обезразмерив входящий в это выражение интеграл по энергиям, получим:

$$\bar{I}_i(\nu) = \frac{\sqrt{3}Ke^3}{2mc^2} \left(\frac{3e\mathcal{E}_0^2}{4\pi m^3 c^5} \right)^{\frac{\gamma_i-1}{2}} \int dRd\Omega \nu^{-\frac{\gamma_i-1}{2}} (H_{\perp})^{\frac{\gamma_i+1}{2}} \times \left[G\left(\frac{\nu}{\nu_i^1}, \gamma_i\right) - G\left(\frac{\nu}{\nu_i^0}, \gamma_i\right) \right]. \quad (2.7)$$

Аналогично поступим и с остальными параметрами Стокса

$$\bar{Q}_i(\nu) = \frac{\sqrt{3}Ke^3}{2mc^2} \left(\frac{3e\mathcal{E}_0^2}{4\pi m^3 c^5} \right)^{\frac{\gamma_i-1}{2}} \int dRd\Omega \nu^{-\frac{\gamma_i-1}{2}} \cos 2\tilde{\chi}(H_{\perp})^{\frac{\gamma_i+1}{2}} \times \left[G_p\left(\frac{\nu}{\nu_i^1}, \gamma_i\right) - G_p\left(\frac{\nu}{\nu_i^0}, \gamma_i\right) \right]; \quad (2.8)$$

$$\bar{U}_i(\nu) = \frac{\sqrt{3}Ke^3}{2mc^2} \left(\frac{3e\mathcal{E}_0^2}{4\pi m^3 c^5} \right)^{\frac{\gamma_i-1}{2}} \int dRd\Omega \nu^{-\frac{\gamma_i-1}{2}} \sin 2\tilde{\chi}(H_{\perp})^{\frac{\gamma_i+1}{2}} \times \left[G_p\left(\frac{\nu}{\nu_i^1}, \gamma_i\right) - G_p\left(\frac{\nu}{\nu_i^0}, \gamma_i\right) \right], \quad (2.9)$$

где введены следующие обозначения: $\nu_i^j = \frac{3eH \sin \chi}{4\pi mc} \left(\frac{\mathcal{E}_i^j}{mc^2} \right)^2$, $G(x, \gamma) = \int_x^{\infty} \xi^{(\gamma-1)/2} \int_{\xi}^{\infty} K_{5/3}(\eta) d\eta d\xi$, $G_p(x, \gamma) = \int_x^{\infty} \xi^{(\gamma-1)/2} K_{2/3}(\xi) d\xi$, которые аналогичны функциям, введённым в работе [11].

Опишем некоторые свойства функций $G(x)$ и $G_p(x)$:

1. При больших x они экспоненциально спадают.
2. Они монотонны.
3. Их значения в нуле равны соответственно

$$G(0, \gamma) = \frac{\gamma + 7/3}{\gamma + 1} 2^{(\gamma-3)/2} \Gamma\left(\frac{3\gamma - 1}{12}\right) \Gamma\left(\frac{3\gamma + 7}{12}\right), \quad (2.10)$$

$$G_p(0, \gamma) = 2^{(\gamma-3)/2} \Gamma\left(\frac{3\gamma - 1}{12}\right) \Gamma\left(\frac{3\gamma + 7}{12}\right). \quad (2.11)$$

Глава 3

Релятивистские эффекты

В рассматриваемой нами задаче отдельные участки джета движутся с релятивистскими скоростями. Так как формулы, написанные нами в предыдущем параграфе, верны лишь для системы отсчёта, в которой данная область покоится, необходимо учесть эффекты, возникающие при переходе в движущуюся систему отсчёта. Это четыре эффекта:

1. Доплеровский сдвиг частоты.
2. Лоренцовское сокращение размеров.
3. Изменение параметров Стокса.
4. Изменение углов при переходе из одной системы отсчёта в другую.

Рассмотрим для начала доплеровский сдвиг частоты. Обозначим величины в лабораторной системе отсчёта обычными символами, а величины в движущейся системе отсчёта - штрихами. Тогда

$$\nu' = \nu \frac{1 - u \cos \delta}{\sqrt{1 - u^2}}, \quad (3.1)$$

где u -скорость движущейся системы отсчёта относительно неподвижной (в единицах c), δ - угол между скоростью движущейся системы отсчёта и линией наблюдения в лабораторной системе.

Лоренцовское сокращение длины приводит к тому, что изменяется объём

$$dR' = \sqrt{1 - u^2} dR. \quad (3.2)$$

Для нахождения закона изменения параметров Стокса при изменении системы отсчёта воспользуемся тем, что они являются компонентами поляризационного тензора,

$$J_{\alpha\beta} = \frac{1}{2} \begin{pmatrix} I + Q & U \\ U & I - Q \end{pmatrix},$$

где $J_{\alpha\beta} = \langle E_\alpha E_\beta^* \rangle$.

Используя закон преобразования, \mathbf{E} и B при переходе из одной системы координат в другую можно получить закон изменения поляризационного тензора [3]. В результате получаем

$$J_{\alpha\beta} = J'_{\alpha'\beta'} \frac{1 - u^2}{(1 - u \cos \delta)^2} \quad (3.3)$$

Таким образом, для параметров Стокса получаем $I(\nu') = I'(\nu') \frac{1 - u^2}{(1 - u \cos \delta)^2}$. Добавив к этому соотношение $I(\nu) = \frac{d\nu'}{d\nu} I'(\nu')$, используя (3.1), окончательно получим

$$\bar{I}(\nu) = \bar{I}'(\nu') \frac{\sqrt{1 - u^2}}{1 - u \cos \delta}; \quad (3.4)$$

$$\bar{Q}(\nu) = \bar{Q}'(\nu') \frac{\sqrt{1 - u^2}}{1 - u \cos \delta}; \quad (3.5)$$

$$\bar{U}(\nu) = \bar{U}'(\nu') \frac{\sqrt{1 - u^2}}{1 - u \cos \delta}. \quad (3.6)$$

Подставив (3.4)-(3.6), (3.1) и 3.2) в (2.7)-(2.9), найдем окончательные выражения для параметров Стокса:

$$\begin{aligned} \bar{I}_i(\nu) = & \frac{\sqrt{3}Ke^3}{2mc^2} \left(\frac{3e\mathcal{E}_0^2}{4\pi\nu m^3 c^5} \right)^{\frac{\gamma_i-1}{2}} \int \frac{dRd\Omega}{1-u\cos\delta} \left(\frac{1-u\cos\delta}{\sqrt{1-u^2}} \right)^{-\frac{\gamma_i+3}{2}} \times \\ & \times (H'_\perp)^{\frac{\gamma_i+1}{2}} \left[G \left(\frac{1-u\cos\delta}{\sqrt{1-u^2}} \frac{\nu}{\nu_i^1}, \gamma_i \right) - G \left(\frac{1-u\cos\delta}{\sqrt{1-u^2}} \frac{\nu}{\nu_i^0}, \gamma_i \right) \right] \end{aligned} \quad (3.7)$$

$$\begin{aligned} \bar{Q}_i(\nu) = & \frac{\sqrt{3}Ke^3}{2mc^2} \left(\frac{3e\mathcal{E}_0^2}{4\pi\nu m^3 c^5} \right)^{\frac{\gamma_i-1}{2}} \int \frac{dRd\Omega}{1-u\cos\delta} \left(\frac{1-u\cos\delta}{\sqrt{1-u^2}} \right)^{-\frac{\gamma_i+3}{2}} \times \\ & \times \cos 2\tilde{\chi}'(H'_\perp)^{\frac{\gamma_i+1}{2}} \left[G_p \left(\frac{1-u\cos\delta}{\sqrt{1-u^2}} \frac{\nu}{\nu_i^1}, \gamma_i \right) - G_p \left(\frac{1-u\cos\delta}{\sqrt{1-u^2}} \frac{\nu}{\nu_i^0}, \gamma_i \right) \right] \end{aligned} \quad (3.8)$$

$$\begin{aligned} \bar{U}_i(\nu) = & \frac{\sqrt{3}Ke^3}{2mc^2} \left(\frac{3e\mathcal{E}_0^2}{4\pi\nu m^3 c^5} \right)^{\frac{\gamma_i-1}{2}} \int \frac{dRd\Omega}{1-u\cos\delta} \left(\frac{1-u\cos\delta}{\sqrt{1-u^2}} \right)^{-\frac{\gamma_i+3}{2}} \times \\ & \times \sin 2\tilde{\chi}'(H'_\perp)^{\frac{\gamma_i+1}{2}} \times \left[G_p \left(\frac{1-u\cos\delta}{\sqrt{1-u^2}} \frac{\nu}{\nu_i^1}, \gamma_i \right) - G_p \left(\frac{1-u\cos\delta}{\sqrt{1-u^2}} \frac{\nu}{\nu_i^0}, \gamma_i \right) \right] \end{aligned} \quad (3.9)$$

До этого момента в работе нигде не был использован вид полей, возникающий в джетах. Для нахождения геометрических преобразований, связывающих величины H'_\perp , $\tilde{\chi}$, δ с реальными полями, а также параметрами наблюдения удобно рассмотреть конкретную модель джета.

Глава 4

Геометрические эффекты

В этой части работы мы рассмотрим стационарный осесимметричный джет [7]. Конфигурация магнитного поля в цилиндрических координатах имеет следующий вид

$$\mathbf{B} = (0, \pm\Omega^F(r)r, 1)B_z. \quad (4.1)$$

Скорость джета имеет две компоненты: тороидальную, соответствующую вращению вокруг оси джета с угловой скоростью $\Omega^F(r)$ и направленную вдоль магнитного поля, $\mathbf{u}_{\parallel} = M(r)\mathbf{B}$, где $M(r)$ - произвольная функция. Индуцированное электрическое поле, вызванное движением высокопроводящей плазмы, равно

$$\mathbf{E} = -[\mathbf{u} \times \mathbf{B}] \quad (4.2)$$

Таким образом в цилиндрических координатах скорость и электрическое поле запишутся в следующем виде:

$$\mathbf{E} = (-\Omega^F r, 0, 0)B_z, \quad (4.3)$$

$$\mathbf{u} = (0, \Omega^F(r)r(1 \pm M(r)B_z/c), M(r)B_z). \quad (4.4)$$

Здесь $\Omega^F(r)$ и $M(r)$ произвольные функции радиуса. Однако, если наложить дополнительно условие замкнутости полоидальной компоненты тока внутри джета, можно получить дополнительно условие [7], $\Omega^F(R) = 0$, где R - радиус джета. Функцию $M(r)$ можно определить, если, например, наложить условие минимума кинетической энергии джета. В таком случае выражение для скорости запишется как

$$\mathbf{u} = \frac{(0, \Omega^F r, \mp (\Omega^F r)^2)}{1 + (\Omega^F r)^2}. \quad (4.5)$$

Заметим, что такому выбору соответствует $(\mathbf{u} \cdot \mathbf{B}) = 0$. Для численного счёта нами была выбрана определенная функция $\Omega^F(r)$, удовлетворяющая условиям $\Omega^F(R) = 0$ и $\left. \frac{d\Omega^F}{dr} \right|_{r=0} = 0$. Простейшей функцией подобного вида является

$$\Omega^F = \frac{\Omega}{R} \left(1 - \left(\frac{r}{R} \right)^2 \right). \quad (4.6)$$

На Рис. 4.1 показана структура полей, соответствующая зависимости такого типа.

Используя преобразования Лоренца можно найти, что в движущейся системе отсчёта поля равны

$$\mathbf{H}' = \sqrt{1 - u^2} \mathbf{H}, \quad (4.7)$$

$$\mathbf{E}' = 0. \quad (4.8)$$

Можно найти величину $H' \cos \chi'$, учитывая, что $\cos \delta' = \frac{\cos \delta - u}{1 - u \cos \delta}$, или $\sin \delta' = \frac{\sqrt{1 - u^2} \sin \delta}{1 - u \cos \delta}$,

$$H' \cos \chi' = \frac{\sqrt{1 - u^2} (H \cos \chi) \sin \delta'}{\sin \delta} = \frac{1 - u^2}{1 - u \cos \delta} H \cos \chi. \quad (4.9)$$

Таким образом,

$$H'_{\perp} = \sqrt{1 - u^2} \left(H^2 - \frac{1 - u^2}{(1 - u \cos \delta)^2} H_{\perp}^2 \right)^{1/2} \quad (4.10)$$

Единичный вектор \mathbf{k} , направленный вдоль линии наблюдения, в цилиндрической системе координат есть

$$\mathbf{k} = (\sin \theta \cos \phi, \sin \theta \sin \phi, \cos \theta). \quad (4.11)$$

Тогда

$$H_{\perp} = B_z \cos \theta - B_{\phi} \sin \theta \sin \phi; \quad u \cos \delta = u_z \cos \delta - u_{\phi} \sin \theta \sin \phi. \quad (4.12)$$

Выражение для $\tilde{\chi}$ было найдено в работе [2]. Его удобно записать в виде

$$\tilde{\chi} = \tilde{\chi}_u + \sigma, \quad (4.13)$$

где угол $\tilde{\chi}_u$ удовлетворяет следующему соотношению

$$\tan \tilde{\chi}_u = \frac{(u - \cos \delta)(u_z \sin \phi \sin \theta + u_{\phi} \cos \theta)}{u \sin \theta \cos \phi (1 - u \cos \delta)}, \quad 0 \leq \tilde{\chi}_u \leq \pi. \quad (4.14)$$

А угол σ равен

$$\cos \sigma = -\frac{u_{\phi} \sin \phi \cos \theta + u_z \sin \theta}{u \sin \delta}, \quad \sin \sigma = -\frac{u_{\phi}}{u \sin \delta}. \quad (4.15)$$

Данные выражения получены с учетом вида \mathbf{u} .

Интегрирование по z даст лишь постоянный множитель L , имеющий смысл продольного размер джета. Таким образом, формально можно записать

$$dRd\Omega = \frac{Lrdrd\phi}{D^2}, \quad (4.16)$$

где D -расстояние от джета до наблюдателя.

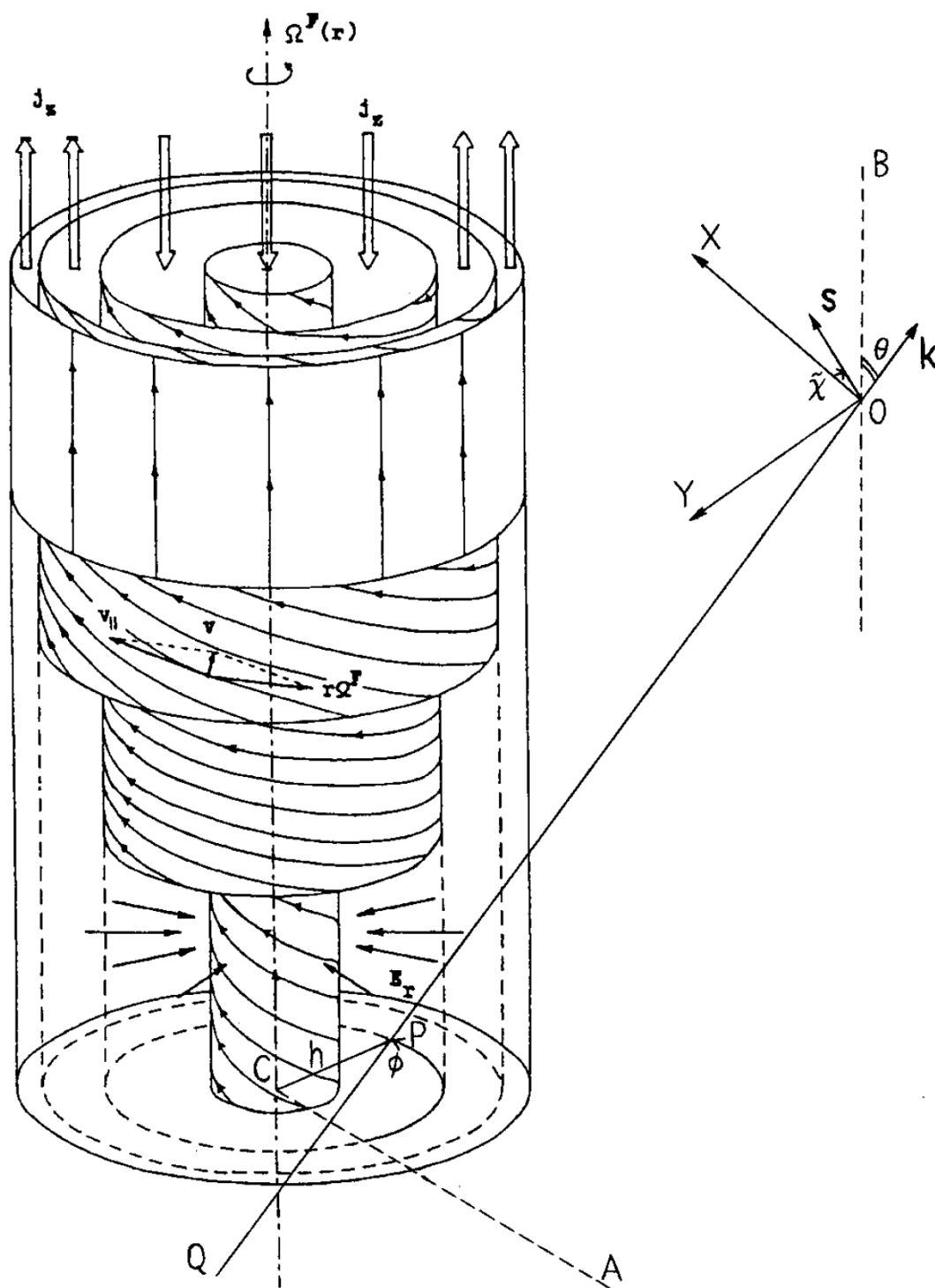


Рисунок 4.1 — На рисунке показана геометрия джета при параметре $\Omega = 10$, а также геометрия наблюдения. Расстояние от линии наблюдения OQ до оси джета равняется h . Угол ϕ отсчитывается от прямой SA лежащей в плоскости, проходящей через ось джета и точку O . Вектор s направлен вдоль поляризованной компоненты излучения. OXY -картинная плоскость.

Таким образом, подставляя результаты, полученные в этом параграфе в формулы (3.7, 3.8, 3.9), можно выразить параметры Стокса через заданные величины.

Можно заметить, что при замене ϕ на $-\phi$ величина $\sin 2\tilde{\chi}$ меняет знак, значит $U = 0$. Таким образом, позиционный угол $\tilde{\chi}_{res}$, определяемый как $\tan 2\tilde{\chi}_{res} = (U/Q)$, может принимать всего два значения: 0, когда $Q > 0$ и $\pi/2$, когда $Q < 0$. Степень поляризации при этом будет просто равна $\Pi = \sqrt{Q^2 + U^2 + V^2}/I = Q/I$.

Глава 5

Численные оценки

Введем безразмерный параметр $t = \frac{\nu}{\nu_b} \left(\frac{mc^2}{\mathcal{E}_0} \right)^2$, где $\nu_b = \frac{3}{4\pi} \frac{eB_z}{mc}$, и безразмерные функции

$$F_1(\theta, \Omega, \gamma, t) = \int_0^1 dx \int_0^{2\pi} d\phi \frac{x(H'_\perp/B_z)^{\frac{\gamma+1}{2}}}{1 - u \cos \delta} \left(\frac{1 - u \cos \delta}{\sqrt{1 - u^2}} \right)^{-\frac{\gamma+3}{2}} \times \quad (5.1)$$

$$\times G \left(\frac{1 - u \cos \delta}{\sqrt{1 - u^2}} t, \gamma \right),$$

$$F_2(\theta, \Omega, \gamma, t) = \int_0^1 dx \int_0^{2\pi} d\phi \frac{x(H'_\perp/B_z)^{\frac{\gamma+1}{2}}}{1 - u \cos \delta} \left(\frac{1 - u \cos \delta}{\sqrt{1 - u^2}} \right)^{-\frac{\gamma+3}{2}} \times \quad (5.2)$$

$$\times G \left(\frac{1 - u \cos \delta}{\sqrt{1 - u^2}} t, \gamma \right) \cos 2\tilde{\xi}.$$

Пользуясь этими безразмерными функциями, можно записать окончательное выражение для параметров Стокса, удобные для анализа

$$\bar{I} = \frac{\sqrt{3} K B_z e^3 R^2 L}{2 mc^2 D^2} \left(t^{-(\gamma_1-1)/2} F_1(\theta, \Omega, \gamma_1, t) - \right. \quad (5.3)$$

$$\left. - t^{-(\gamma_2-1)/2} F_1(\theta, \Omega, \gamma_2, t) + t^{-(\gamma_2-1)/2} F_1(\theta, \Omega, \gamma_2, 0) \right),$$

$$\bar{Q} = \frac{\sqrt{3} K B_z e^3 R^2 L}{2 mc^2 D^2} \left(t^{-(\gamma_1-1)/2} F_2(\theta, \Omega, \gamma_1, t) - t^{-(\gamma_2-1)/2} F_2(\theta, \Omega, \gamma_2, t) + t^{-(\gamma_2-1)/2} F_2(\theta, \Omega, \gamma_2, 0) \right). \quad (5.4)$$

Функции F_1 и F_2 были найдены численно: (Рис. 5.1), (Рис. 5.2).

Сделаем численную оценку полученных величин. При разумном предположении, подтверждающимся численным расчётом, о том, что функции $F_1(t)$ и $F_2(t)$ быстро спадают с ростом t за счёт входящих в них функций G и G_p , обеспечивающих данный спад, можно оценить частоту перегиба спектра как $t = 1$, или $\nu_0 = \frac{3}{4\pi} \frac{eB_z}{mc} \left(\frac{\mathcal{E}_0}{mc^2} \right)^2$. При значениях $B \sim 10^{-2}$ Гаусс и параметра $\mathcal{E}_0 = 10^6 mc^2$ частота ν_0 составляет величину, $\nu_0 \simeq 10^{13}$ Гц. Из этого можно сделать вывод, что высокоэнергичная часть спектра релятивистских протонов не дает вклада на частотах порядка 1 ГГц. Это предположение хорошо согласуется с численными вычислениями (Рис. 5.3), (Рис. 5.4). Поэтому выражение для параметров Стокса можно упростить

$$\bar{I} = \frac{\sqrt{3} K B_z e^3 R^2 L}{2 mc^2 D^2} t^{-(\gamma_1-1)/2} F_1(\theta, \Omega, \gamma_1, 0), \quad (5.5)$$

$$\bar{Q} = \frac{\sqrt{3} K B_z e^3 R^2 L}{2 mc^2 D^2} t^{-(\gamma_1-1)/2} F_2(\theta, \Omega, \gamma_1, 0). \quad (5.6)$$

Отсюда видно, что величина степени поляризации не зависит от частоты, на которой ведётся наблюдение.

Для численной оценки спектральной плотности заметим, что энергетические потери джета P равны

$$P = \pi R^2 n_\varepsilon c, \quad (5.7)$$

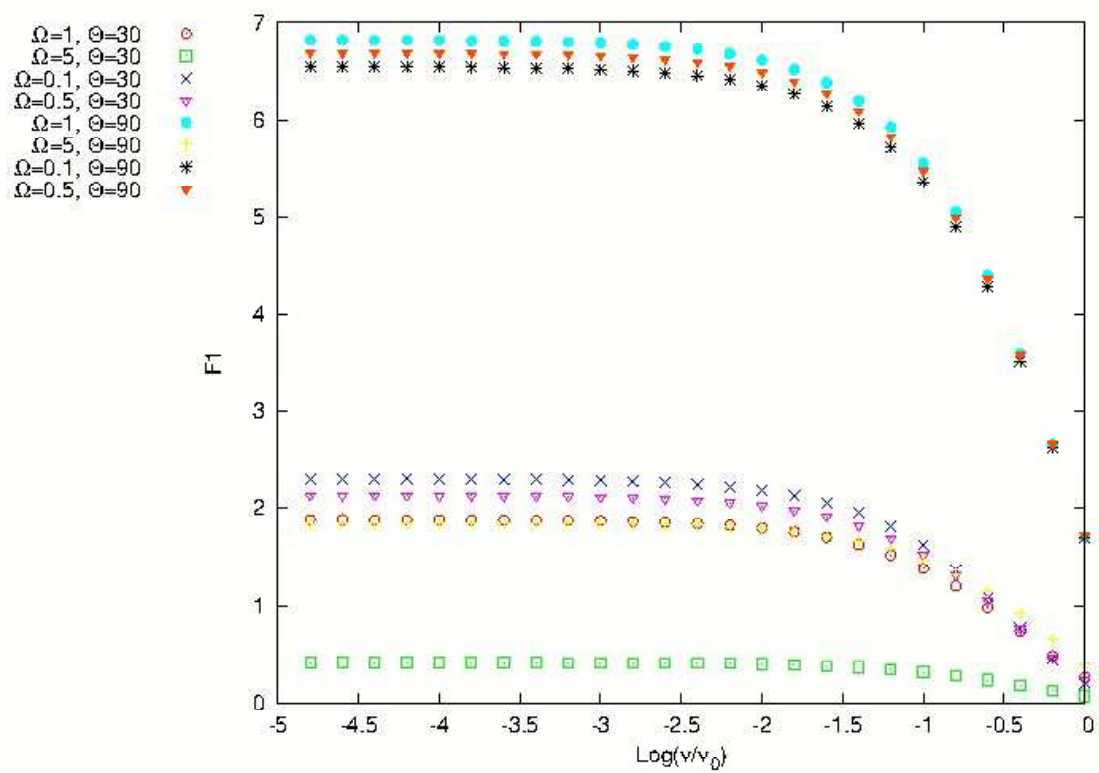


Рисунок 5.1 — Зависимость функции $F1$ из уравнения (5.1) от частоты для разных параметров.

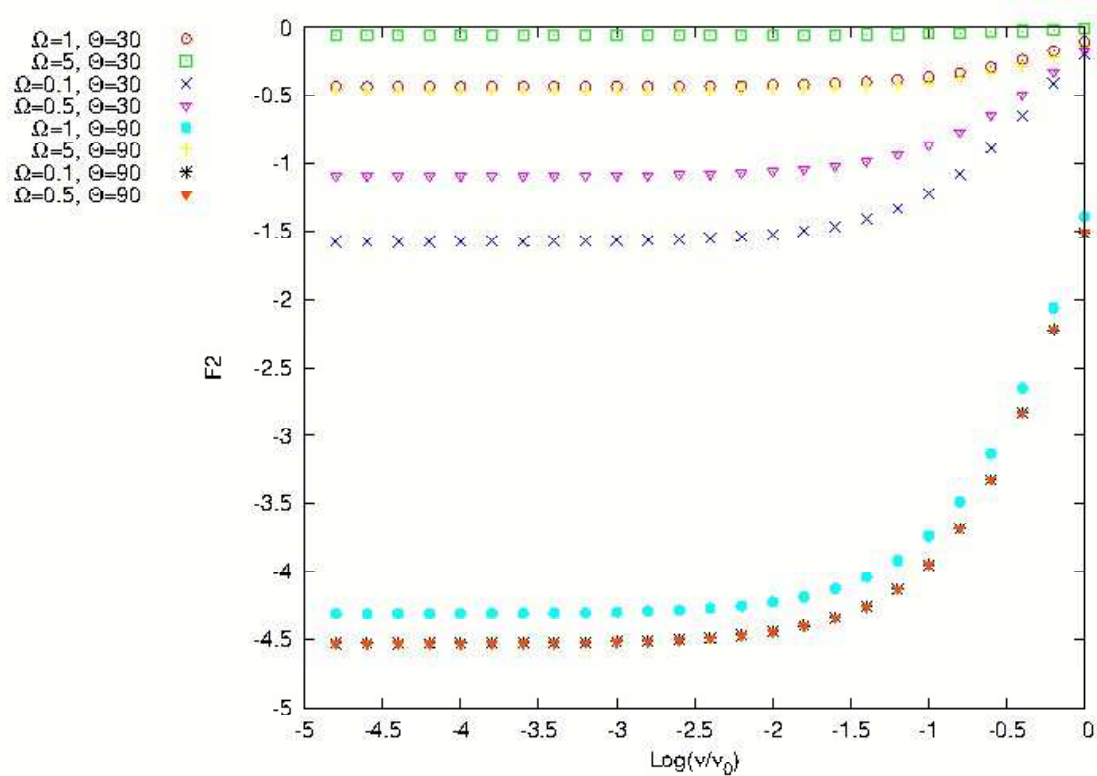


Рисунок 5.2 — Зависимость функции F_2 из уравнения (5.2) от частоты для разных параметров.

где n_ε - плотность энергии частиц

$$n_\varepsilon = \int_{\mathcal{E}_{min}}^{\infty} N(\mathcal{E}) \mathcal{E} d\mathcal{E}, \quad (5.8)$$

где $\mathcal{E}_{min} \simeq 4$ ГэВ.

Интегрируя, получим

$$n_\varepsilon = K \mathcal{E}_0 \left[\ln \left(\frac{\mathcal{E}_0}{\mathcal{E}_{min}} \right) + 2.5 \right] \simeq 10K \mathcal{E}_0.$$

Из этого следует, что

$$K \simeq \frac{P}{30R^2 c \mathcal{E}_0}.$$

Подставляя данное выражение в формулу (5.5), получим

$$I \simeq \frac{B_z e^3 L P}{m c^3 \mathcal{E}_0 D^2} \left(\frac{\nu_0}{\nu} \right)^{1/2} \simeq 10 \text{Ян} \left(\frac{P}{10^{45} \text{эрг/с}} \right) \left(\frac{L}{1 \text{кПк}} \right) \left(\frac{D}{1 \text{МПк}} \right)^{-2} \times \\ \times \left(\frac{B_z}{10^{-2} \text{Гс}} \right)^{3/2} \left(\frac{\nu}{1 \text{ГГц}} \right)^{-1/2} \quad (5.9)$$

Для яркостной температуры $T_b = \frac{I \lambda^2}{2k_B \Omega}$, где $\Omega = \lambda^2/d^2$ -разрешение интерферометра (d - размер базы интерферометра), может быть получено следующее выражение:

$$T_b \simeq \frac{B_z e^3 P L d^2}{m c^3 \mathcal{E}_0 k_B D^2} \left(\frac{\nu_0}{\nu} \right)^{1/2} = 10^{12} \text{К} \left(\frac{P}{10^{45} \text{эрг/с}} \right) \left(\frac{L}{1 \text{кПк}} \right) \left(\frac{d}{10^4 \text{км}} \right)^2 \times \\ \times \left(\frac{D}{1 \text{МПк}} \right)^{-2} \left(\frac{B_z}{10^{-2} \text{Гс}} \right)^{3/2} \left(\frac{\nu}{1 \text{ГГц}} \right)^{-1/2} \quad (5.10)$$

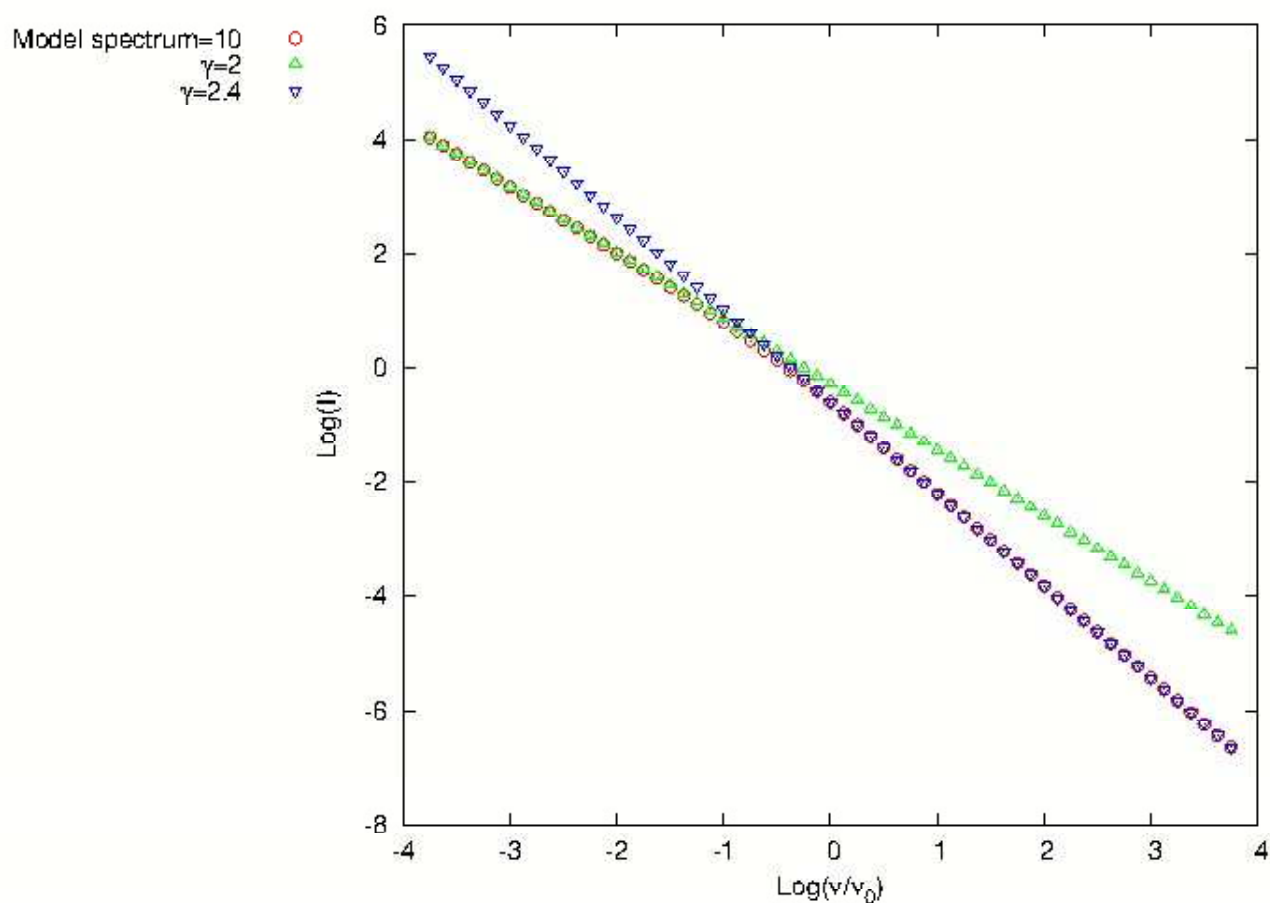


Рисунок 5.3 — Частотный спектр для модельного распределения с параметром $\Omega = 10$, при угле между линией наблюдения и джетом, $\theta = 10$, а также для степенных распределений с показателем $-\gamma$. При малых частотах спектр модельного распределения неотличим от степенного распределения с показателем -2.

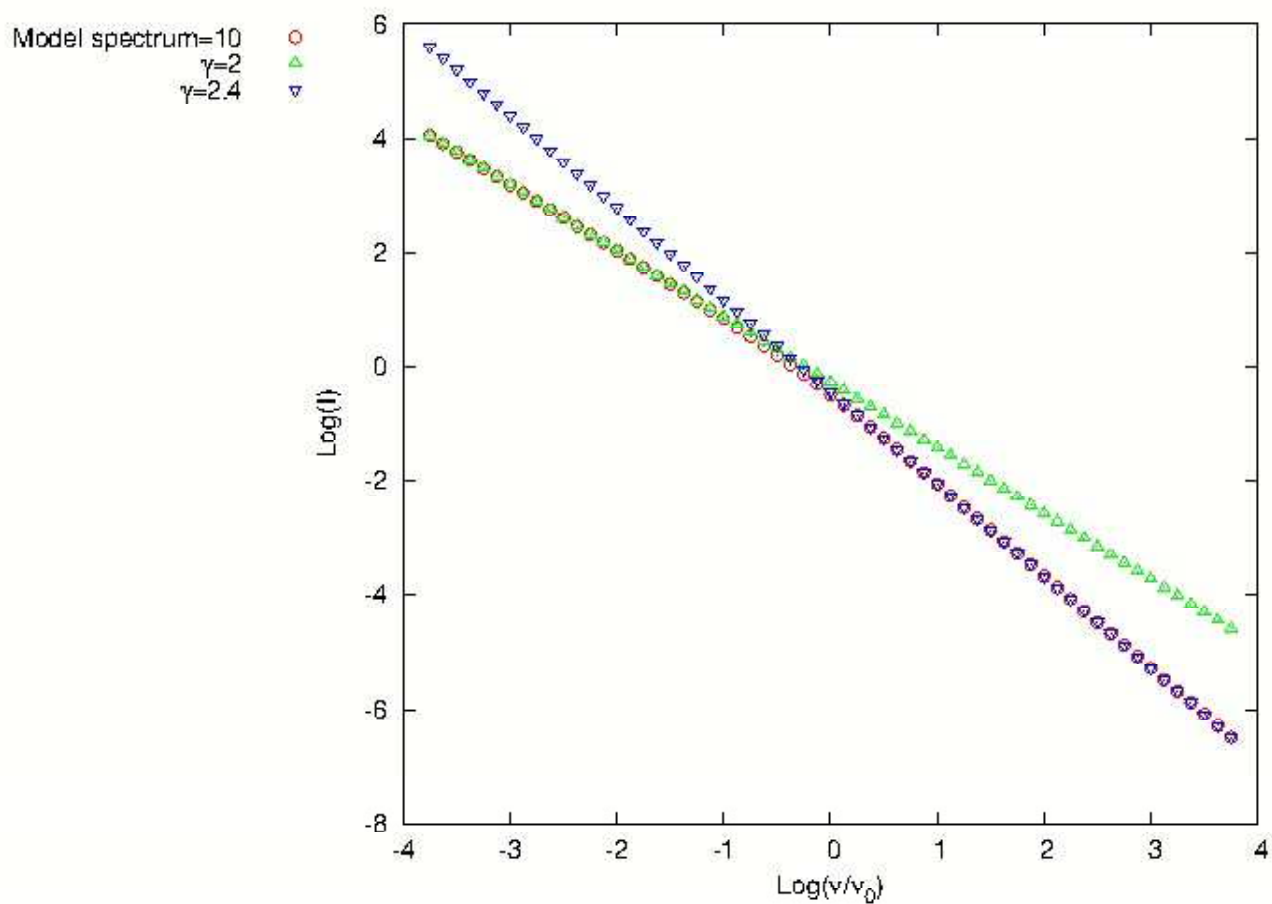


Рисунок 5.4 — Частотный спектр для модельного распределения с параметром $\Omega = 10$, при угле между линией наблюдения и джетом, $\theta = 90$, а также для степенных распределений с показателем $-\gamma$.

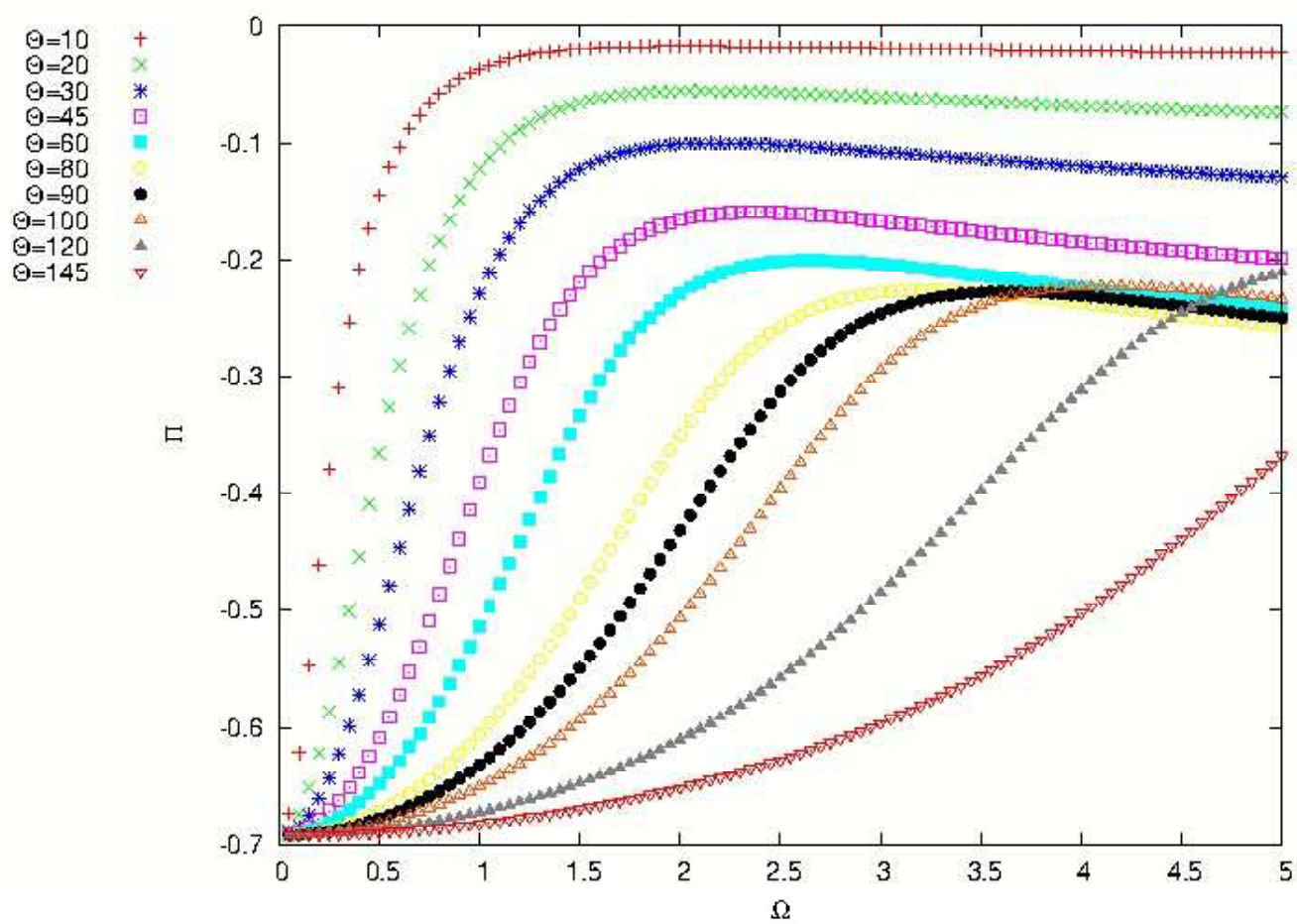


Рисунок 5.5 — Зависимость степени поляризации излучения Π от параметра Ω при разных углах θ .

Глава 6

Результаты

Таким образом, нами было рассчитан спектр, а также параметры поляризации синхротронного излучения протонов в релятивистских джетах. Предполагалось, что энергетический спектр частиц может иметь излом при некоторой энергии $\mathcal{E}_0 \simeq 10^{15} eV$ [6]. Однако, показано, что высокоэнергетичная часть спектра не даёт вклада в наблюдаемую картину синхротронного излучения на частотах $\nu \simeq (1 - 10)$ ГГц. Численная оценка, полученная в работе согласуется с данными наблюдений (например [10]).

Литература

- [1] M. C. Begelman, R. D. Blandford, and M. J. Rees. Theory of extragalactic radio sources. *Reviews of Modern Physics*, 56:255–351, April 1984.
- [2] R. D. Blandford and A. Königl. Relativistic jets as compact radio sources. *ApJ*, 232:34–48, August 1979.
- [3] W. J. Cocke and D. A. Holm. Lorentz Transformation Properties of the Stokes Parameters. *Nature Physical Science*, 240:161–162, December 1972.
- [4] V. L. Ginzburg. *Applications of electrodynamics in theoretical physics and astrophysics*. 1989.
- [5] Y. N. Istomin. Relativistic jets in active galactic nuclei: time variability. *MNRAS*, 408:1307–1312, October 2010.
- [6] Y. N. Istomin. On the origin of galactic cosmic rays. *New A*, 27:13–18, February 2014.
- [7] Y. N. Istomin and V. I. Pariev. Stability of a Relativistic Rotating Electron / Positron Jet. *MNRAS*, 267:629, April 1994.

- [8] Y. N. Istomin and H. Sol. Acceleration of particles in the vicinity of a massive black hole. *Ap&SS*, 321:57–67, May 2009.
- [9] M. P. C. Legg and K. C. Westfold. Elliptic Polarization of Synchrotron Radiation. *ApJ*, 154:499, November 1968.
- [10] A. P. Lobanov, J. L. Gómez, G. Bruni, Y. Y. Kovalev, J. Anderson, U. Bach, A. Kraus, J. A. Zensus, M. M. Lisakov, K. V. Sokolovsky, and P. A. Voytsik. RadioAstron space VLBI imaging of polarized radio emission in the high-redshift quasar 0642+449 at 1.6 GHz. *ArXiv e-prints*, April 2015.
- [11] K. C. Westfold. The Polarization of Synchrotron Radiation. *ApJ*, 130:241, July 1959.